

Sistemas Realimentados

EP - 21

Nomes: Breno e Rafael

1) Faça os gráficos de Bode e polar mostrando o ponto $-1+j0$ nos dois casos.

É possível esboçar os gráficos analisando os efeitos dos polos da função de transferência $G(s)$.

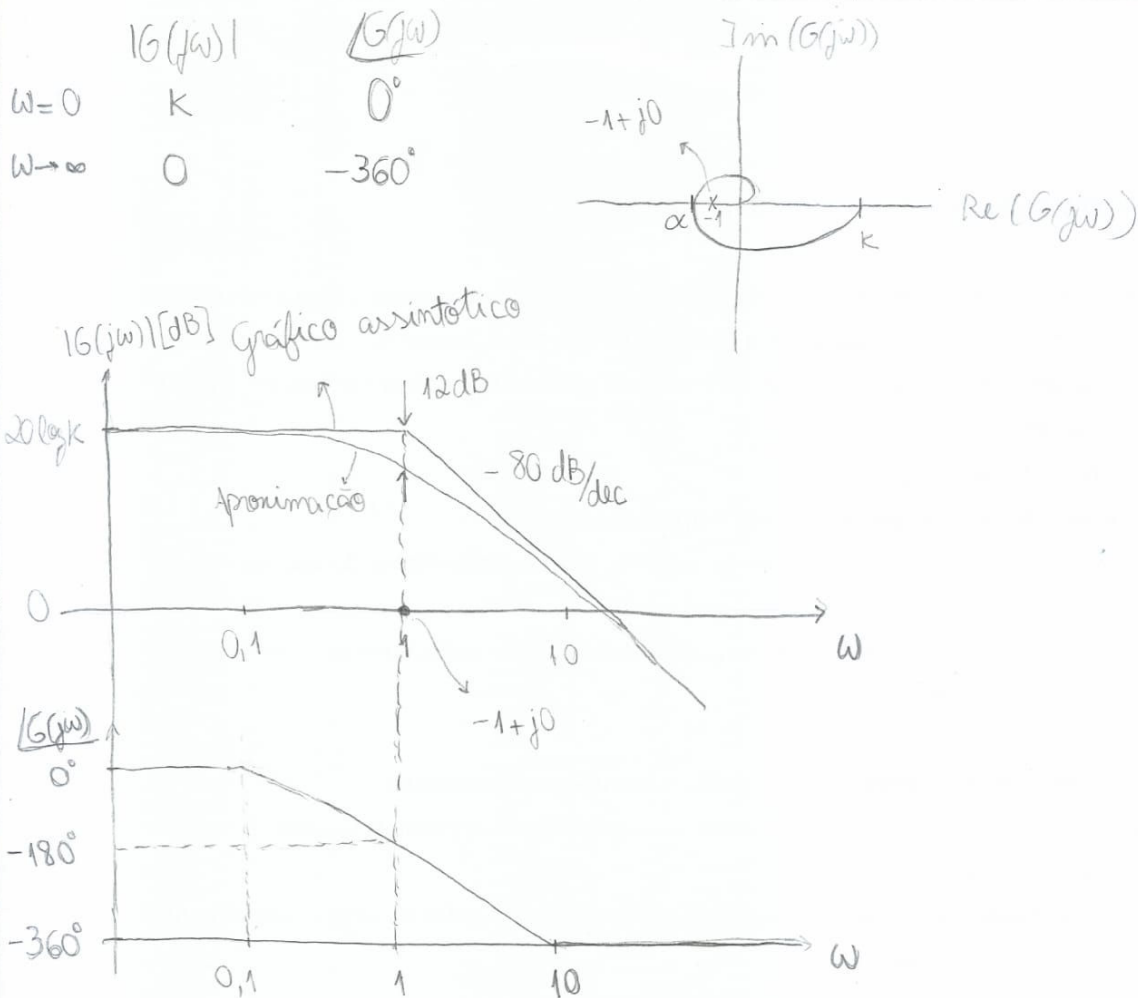
A função não possui nenhum zero e possui 4 polos em $s = -1$. Como explicado nas notas de aula e em EPs anteriores, é possível aproximar o efeito de um polo no SPE para:

- Atraso de 90° iniciando-se uma década antes da frequência do polo e terminando uma década após a frequência do polo;
- Redução da amplitude da função de transferência em 20 dB/década a partir da frequência do polo.

Elabora-se uma tabela com os valores do módulo e ângulo da função de transferência para $\omega = 0$ e $\omega \rightarrow \infty$ para desenhar o gráfico polar. Nota-se que o gráfico polar terá pontos em função de K e a posição do ponto $-1+j0$ em relação à curva dependerá desse valor (o esboço foi feito considerando -1 interior à curva).

Para desenhar o gráfico de Bode, deve-se determinar a amplitude de $G(j\omega)$ para $\omega \rightarrow 0^+$. Como a função $G(s)$ já se encontra normalizada, esse valor é $20 \log K$.

O ponto $-1+j0$ no gráfico de Bode ocorreria onde $|G(j\omega)| = 1 = 0dB$ e $\angle G(j\omega) = \pm 180^\circ$.



Usando o Matlab

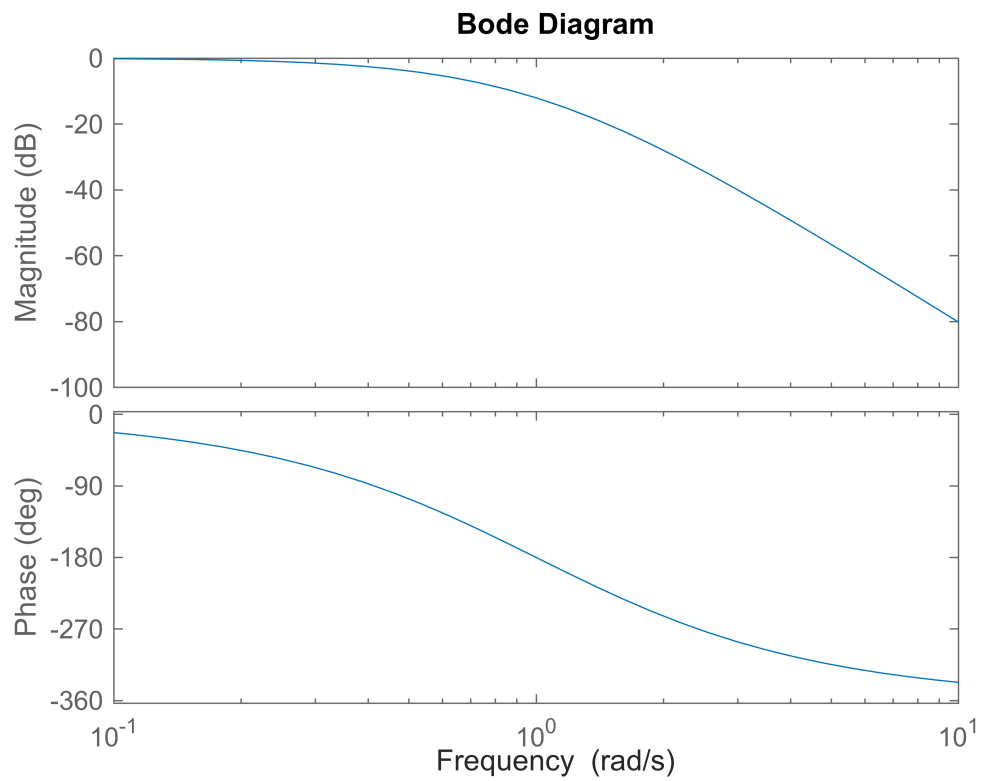
```
G = tf([1], poly([-1, -1, -1, -1]))
```

G =

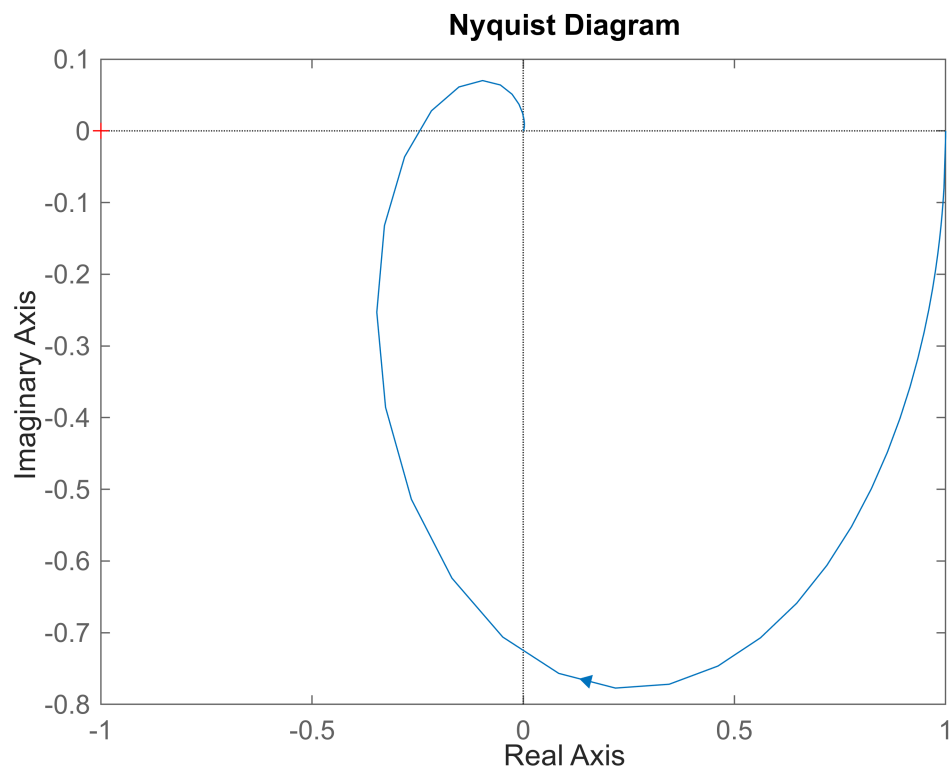
$$\frac{1}{s^4 + 4s^3 + 6s^2 + 4s + 1}$$

Continuous-time transfer function.
Model Properties

```
bode(G)
```



```
h=nyquistplot(G);  
set(h, 'ShowFullContour', 'off')
```



2) Analise a margem de fase e a margem de ganho para $K=1$.

Margem de ganho:

Como se observa na figura abaixo, o ângulo de -180° ocorre para $\omega = 1$, que corresponde à frequência dos polos. É sabido que na frequência de corte de um polo, a função de transferência decresce em 3dB (um pouco diferente da aproximação assintótica). Como a função analisada apresenta 4 polos na mesma frequência, em $\omega = 1$ tem-se:

$$|G(j1)|[dB] = 20 \log K - 12$$

Assim, a interseção da curva no gráfico polar com o ponto $-1+j0$ ocorrerá quando $|G(j1)| = 1 = 0dB$ que ocorrerá para

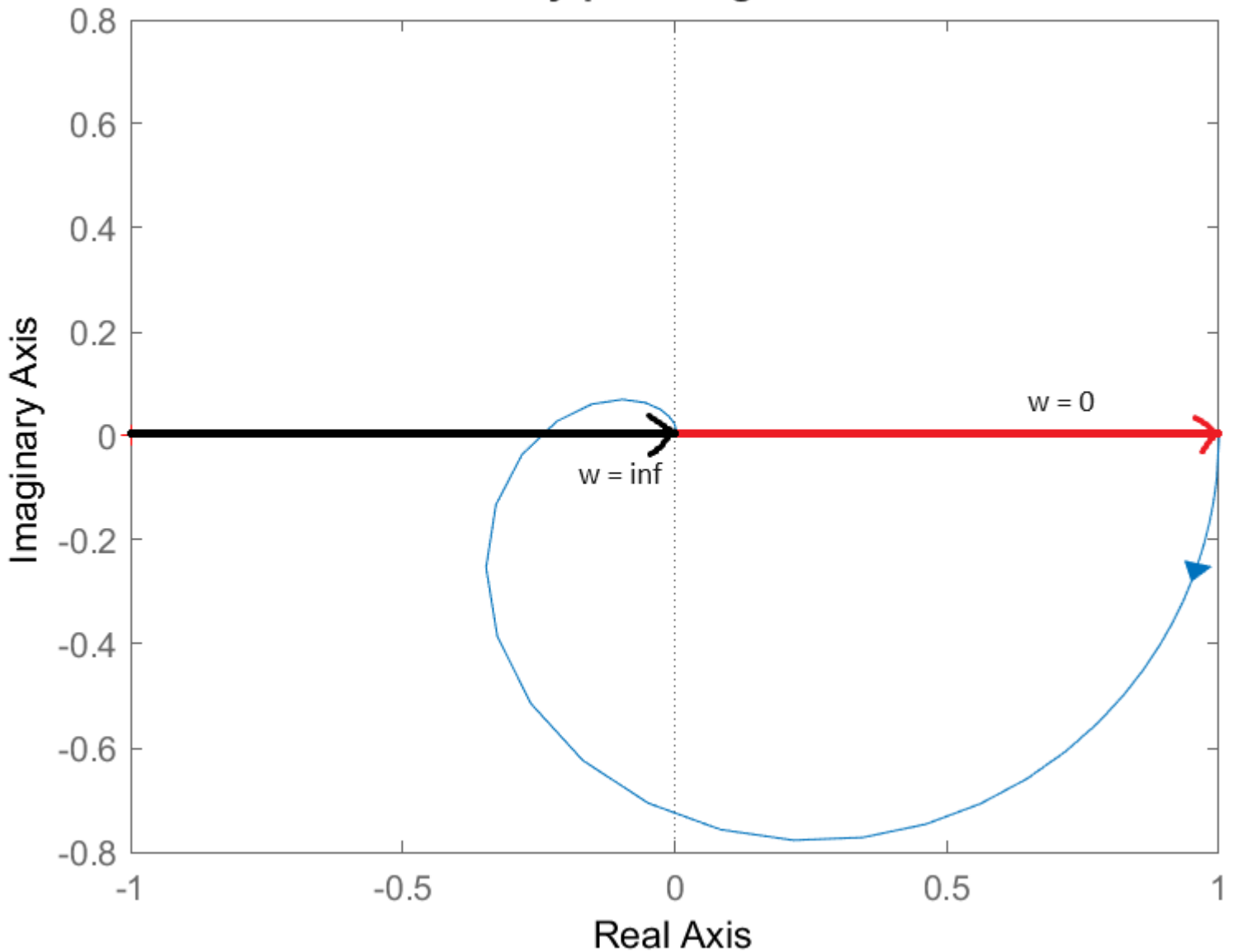
$$20 \log K = 12$$

$$K = 3,98$$

Desse forma, à medida que o valor de K aumenta, a curva no plano polar se expande (em direção radial) até que em $K = 3.98$ a interseção com o eixo real ocorre em -1 ($\alpha = 1$).

Quando o ponto -1 é externo à curva ($\alpha < 1$), tem-se

Nyquist Diagram



$$\Phi = 0^\circ$$

Portanto, usando que

$$\Phi = (Z_d - P_o/2 - P_d)180^\circ$$

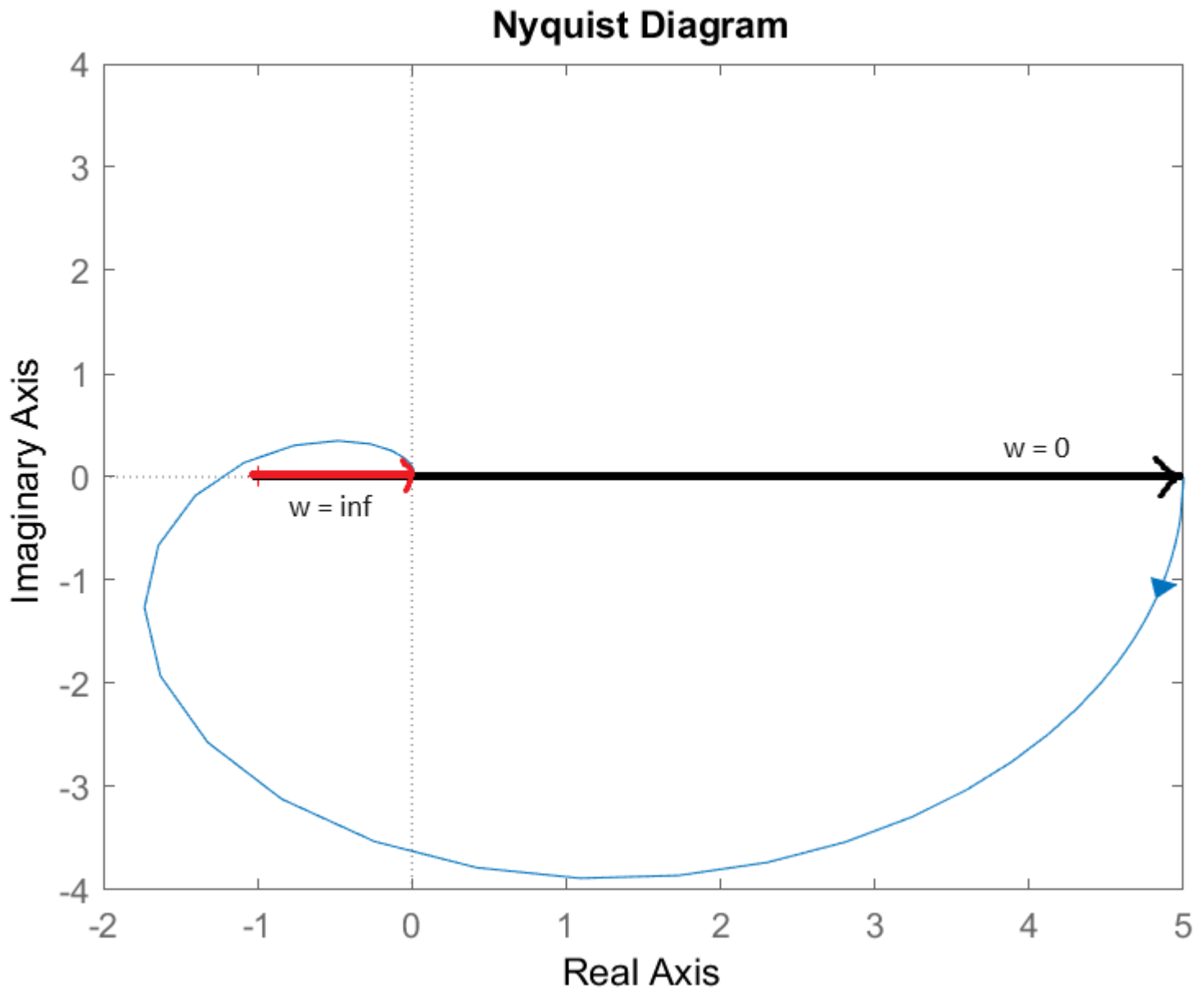
Onde Z_d , P_o e P_d representam o número de zeros no SPD, polos no eixo imaginário e polos no SPD da função $F(s) = 1 + G(s)H(s)$, respectivamente. Como zeros no SPD da função $F(s)$ equivalem a polos de malha fechada no SPD, então a condição para estabilidade é $Z_d = 0$. Então, será encontrado a seguir o valor de Z_d para cada situação para se analisar estabilidade.

Como os polos de $F(s)$ são os mesmos que os polos de $G(s)H(s)$, considerando $H(s) = 1$, os polos de $F(s)$ são os polos de $G(s)$. Portanto, $P_o = P_d = 0$. Assim,

$$Z_d = \Phi/180^\circ$$

Para a condição acima, $\Phi = 0^\circ$ implica $Z_d = 0$ e o sistema é estável.

Caso o ganho seja maior que $K = 3.98$:



Neste caso, $\Phi = +360^\circ$. Assim, $Z_d = 2$ e existem 2 polos no SPD em malha fechada, tornando o sistema instável.

Conclui-se que o sistema é estável para $0 < K < 3,98$ e o sistema é instável para $K > 3,98$.

Como a margem de ganho é definida pela variação necessária de K (em dB) para que o sistema se torne instável,

$$MG_1 = 20 \log(3,98) - 20 \log(1) = 12dB$$

Margem de fase:

A margem de fase é definida como o ângulo que a curva de $G(j\omega)$ deve rotacionar para que cruze com o ponto $-1+j0$.

Para determinar isto, é preciso encontrar $\angle G(j\omega_0)$ tal que $|G(j\omega_0)| = 1$.

OBS: Neste caso $K = 1$, se verifica no gráfico de Nyquist que ocorre em $\omega_0 = 0$, porém as equações serão desenvolvidas aqui, pois serão úteis para o próximo exercício.

$$\frac{|K|}{|j\omega_0 + 1|^4} = 1$$

$$(1 + \omega_0^2)^2 = |K|$$

Como estamos analisando apenas ganhos positivos,

$$\omega_0 = \sqrt{\sqrt{K} - 1}$$

$$\angle G(j\omega_0) = -4 \arctan \omega_0$$

Substituindo $K = 1$,

$$\omega_0 = 0$$

$$\angle G(j\omega_0) = 0$$

Assim, o gráfico teria que ser rotacionado em 180° (atraso máximo) para intersectar com $-1+j0$. Portanto,

$$MF_1 = 180^\circ$$

Correção: a margem de fase neste caso, é infinita, pois como o módulo é sempre menor que 1, atrasar a fase não faz com que o ponto $-1+j0$ seja envolvido.

3) Analise a margem de fase e a margem de ganho para $K=2$ comparando com o caso de $K=1$.

Margem de ganho:

Seguindo a análise feita anteriormente, temos que:

$$MG_2 = 20 \log(3,98) - 20 \log(2) = 6dB.$$

Como, $MG_2 < MG_1$, isso implica que a resposta ao degrau para o ganho de $K = 2$, é uma resposta mais oscilatória (menor amortecimento), já que a menor margem de ganho implica em uma menor distância do ponto $(-1,j0)$, o que no LR seria uma maior aproximação dos polos do eixo jw .

```
G = tf([1], poly([-1, -1, -1, -1]))
```

G =

$$\frac{1}{s^4 + 4s^3 + 6s^2 + 4s + 1}$$

Continuous-time transfer function.
Model Properties

```
h=nyquistplot(G);
```

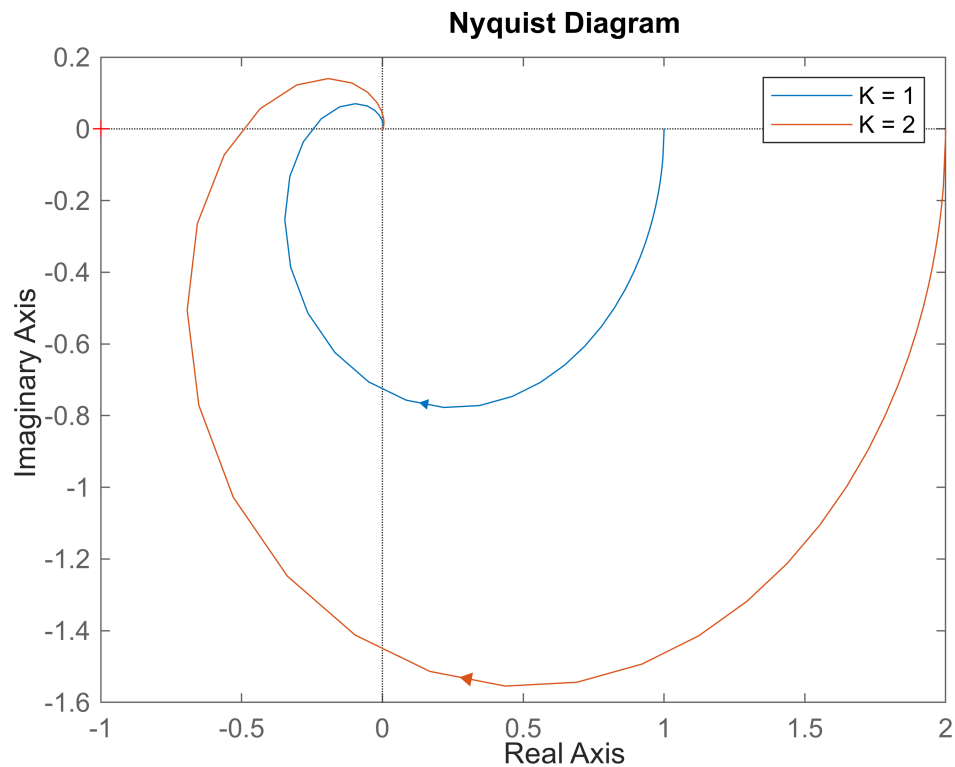
```
set(h, 'ShowFullContour', 'off');
hold on
G = tf([2], poly([-1, -1, -1, -1]))
```

G =

$$\frac{2}{s^4 + 4s^3 + 6s^2 + 4s + 1}$$

Continuous-time transfer function.
Model Properties

```
h=nyquistplot(G);
set(h, 'ShowFullContour', 'off');
legend("K = 1", "K = 2");
hold off
```



Margem de fase:

Partindo da análise anterior, e usando a equações:

$$\omega_0 = \sqrt{\sqrt{K} - 1}$$

$$\angle G(j\omega_0) = -4 \arctan \omega_0$$

Substituindo $K = 2$, temos :

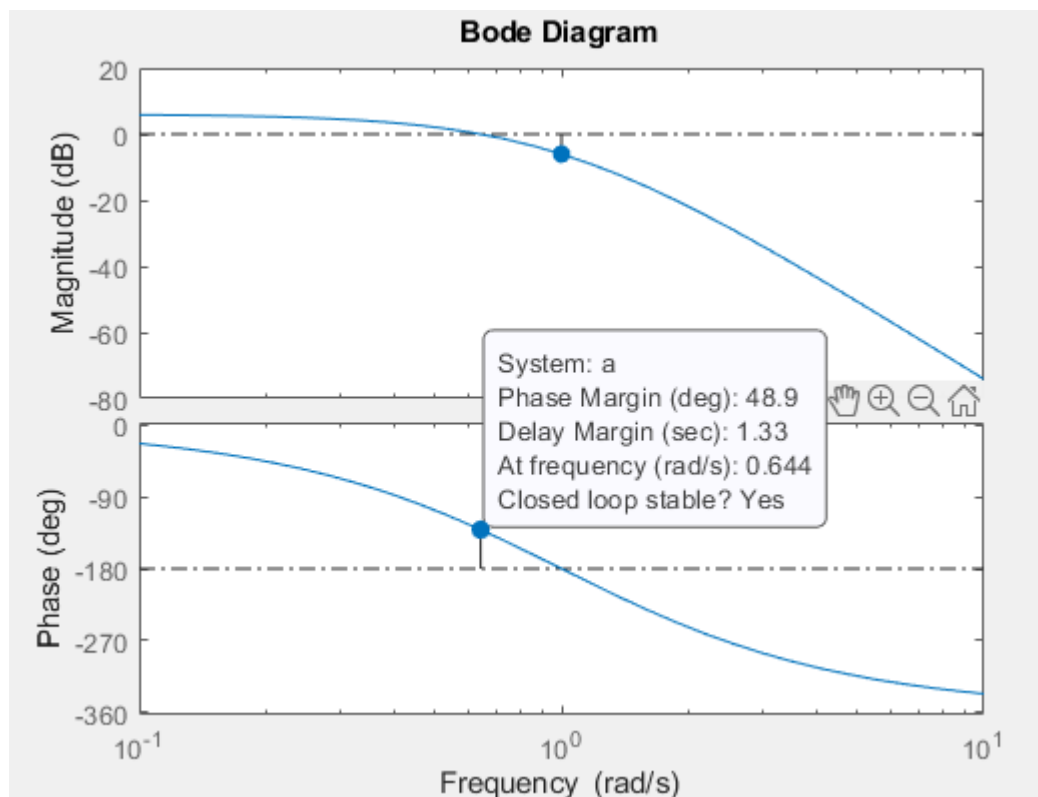
$$\omega_0 = 0,643$$

$$\angle G(j\omega_0) = -4 \arctan 0,4349 = -131^\circ$$

Portanto :

$$MF_2 = 180^\circ - 131^\circ = 49^\circ$$

Isso implica que, um menor atraso ocasiona a instabilidade do sistema.



4) Para K=2, qual o atraso de tempo em segundos que torna este sistema instável?

O máximo atraso em segundos é dado por :

$$d \leq \frac{\pi \cdot MF}{180\omega}$$

Substituindo nossas variáveis, temos a seguinte equação:

$$d \leq \frac{\pi \cdot MF_2}{180\omega_0} \rightarrow d \leq \frac{\pi \cdot 49}{180 \cdot 0.643} \rightarrow d \leq 1.33$$

Isso implica que, caso o d da exponencial e^{-ds} seja maior que 1.33, o sistema é instável, e caso seja exatamente 1.33, o sistema é marginalmente instável.

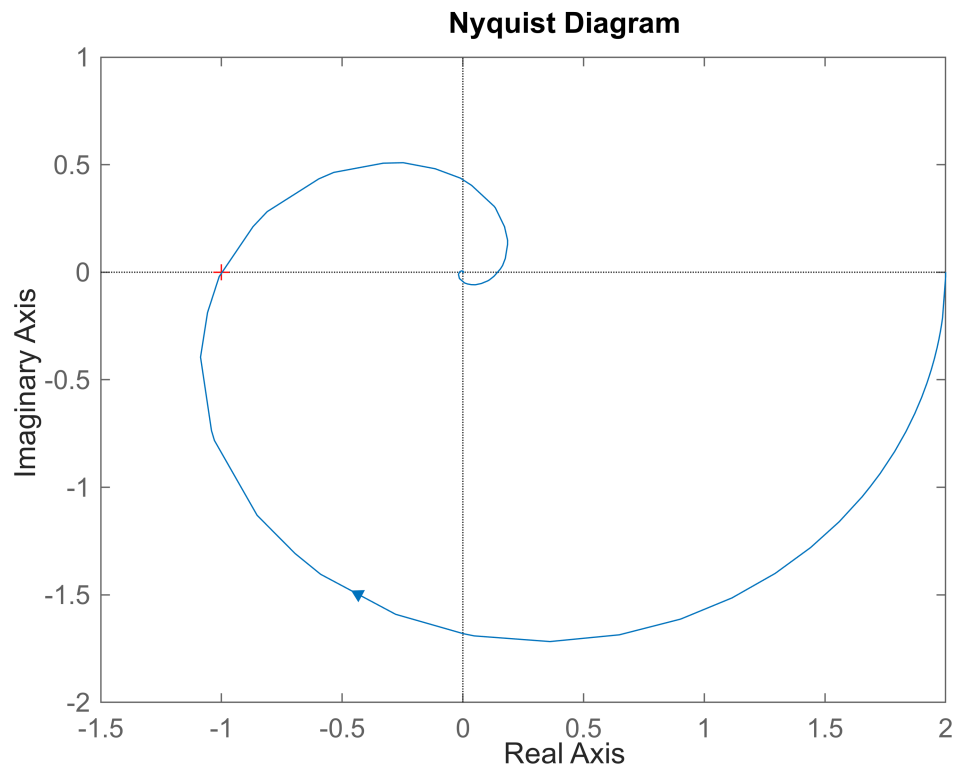
```
num = 2;
den = poly([-1, -1, -1, -1]);
G = tf(num,den,'InputDelay',1.33)
```

G =

$$\exp(-1.33s) * \frac{1}{s^4 + 4s^3 + 6s^2 + 4s + 1}$$

Continuous-time transfer function.
Model Properties

```
h=nyquistplot(G);
set(h, 'ShowFullContour', 'off')
```



Caso o atraso seja maior, o sistema é instável:

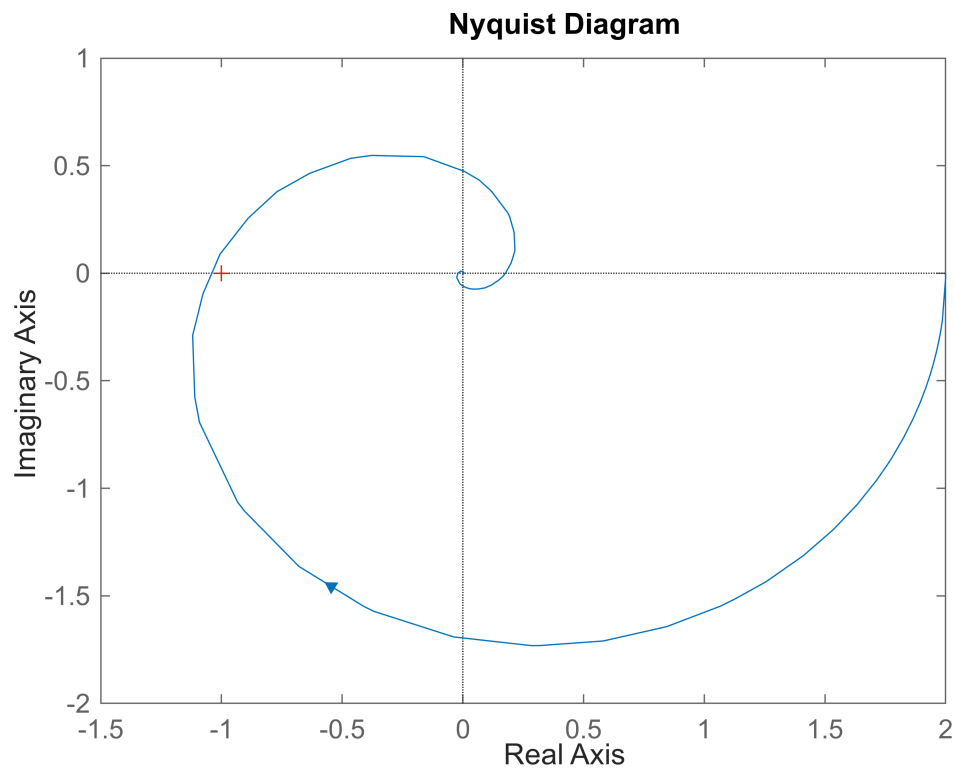
```
num = 2;
den = poly([-1, -1, -1, -1]);
G = tf(num,den,'InputDelay',1.5)
```

G =

$$\exp(-1.5s) * \frac{2}{s^4 + 4s^3 + 6s^2 + 4s + 1}$$

Continuous-time transfer function.
Model Properties

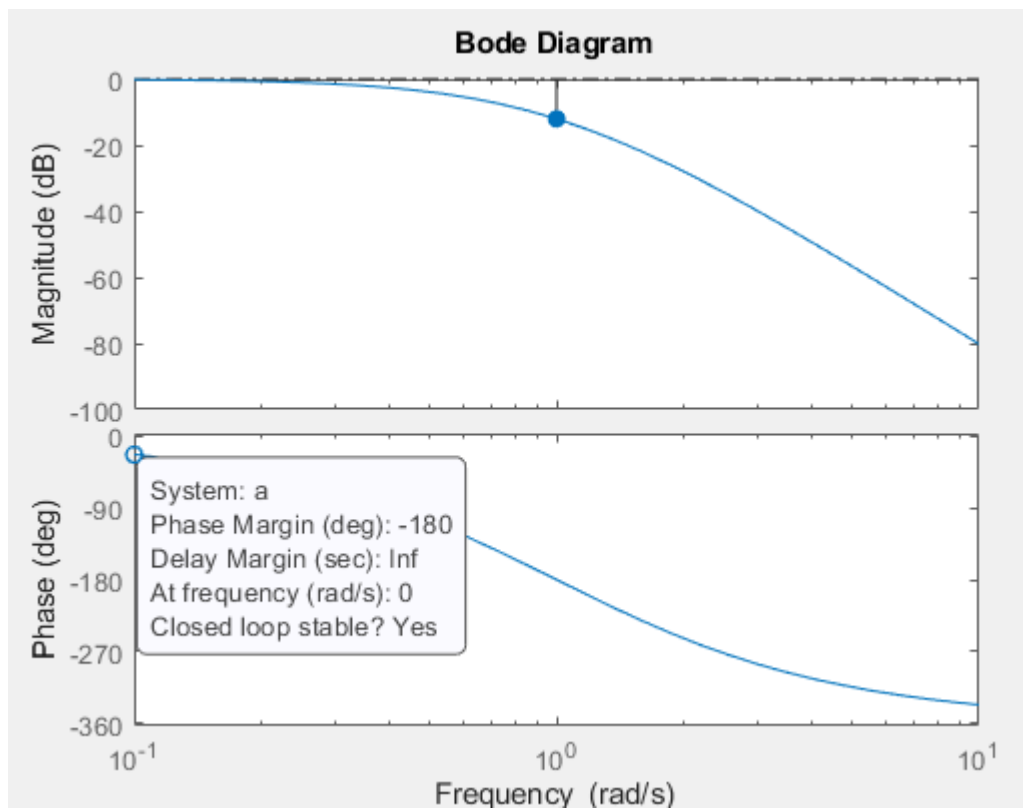
```
h=nyquistplot(G);
set(h, 'ShowFullContour', 'off')
```



Provando a afirmação que um ganho menor, pode ter um atraso maior. Para o ganho de $K = 1$ temos :

$$d \leq \frac{\pi \cdot MF_1}{180\omega_0} \rightarrow \lim_{\omega_0 \rightarrow 0} d \leq \frac{\pi}{\omega_0} \rightarrow \lim_{\omega_0 \rightarrow 0} d \leq \infty$$

O sistema quando $K = 1$ pode ter qualquer atraso, que o sistema não irá deixar de ser estável.



Escolhendo atrasos cada vez maiores:

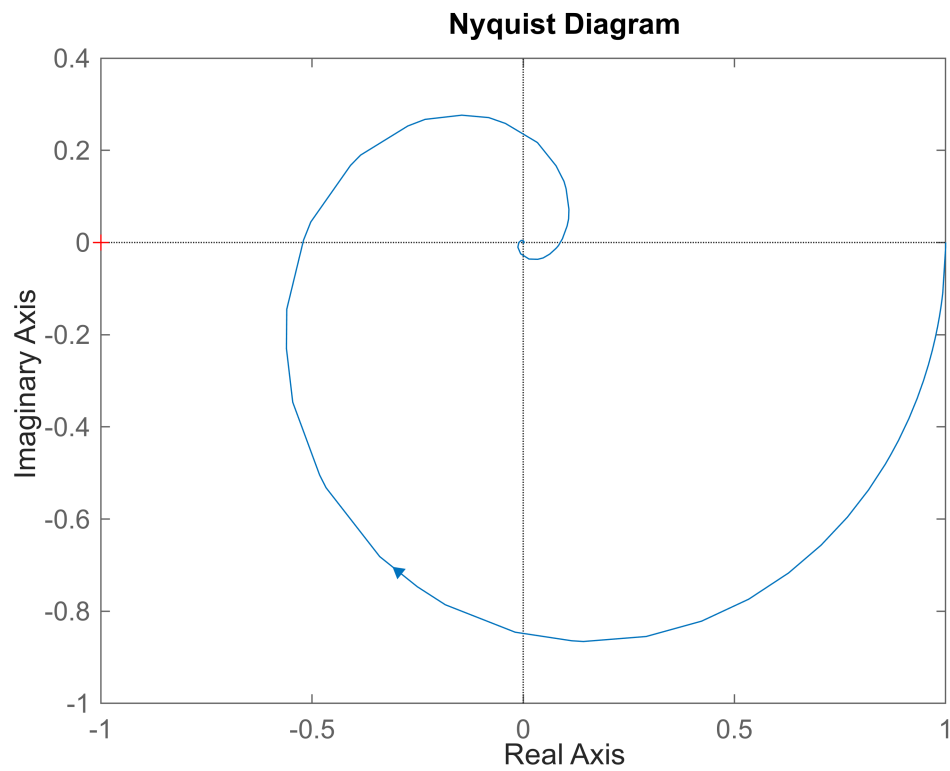
```
num = 1;
den = poly([-1, -1, -1, -1]);
G = tf(num,den,'InputDelay',1.5)
```

G =

$$\exp(-1.5s) * \frac{1}{s^4 + 4s^3 + 6s^2 + 4s + 1}$$

Continuous-time transfer function.
 Model Properties

```
h=nyquistplot(G);
set(h,'ShowFullContour','off')
```



```
num = 1;
den = poly([-1, -1, -1, -1]);
G = tf(num,den,'InputDelay',100)
```

G =

$$\exp(-100s) * \frac{1}{s^4 + 4s^3 + 6s^2 + 4s + 1}$$

Continuous-time transfer function.
Model Properties

```
h=nyquistplot(G);
set(h,'ShowFullContour','off')
```

